

·研究原著·

文章编号: 1000-2790(2007)11-1014-04

Galectin-3 shRNA载体的构建表达及其对大肠癌细胞lovo增殖率的影响

程变巧¹,姜 泊¹,包 杰² (南方医科大学附属南方医院:¹消化病研究所,²检验医学中心,广东 广州 510515)

Construction and expression of galectin-3 shRNA recombinant vector and its effect on proliferation rate of colorectal cancer lovo cells

CHENG Bian-Qiao¹, JIANG Bo¹, BAO Jie²¹ Institute of Digestive Diseases, ²Center of Laboratory Medicine, Nanfang Hospital, Southern Medical University, Guangzhou 510515, China

【Abstract】 A M: To construct the eukaryotic vector expressing shRNA of galectin-3 and study its effect on the proliferation rate in lovo cells. **METHODS:** Lovo cells transferred with empty PRNAT-U6_1 or nothing were regarded as negative or positive control groups, respectively. Two different 140 bp shRNA targeting the coding sequence of galectin-3 were designed, and inserted to the plasmid vector PRNAT-U6_1 for getting PRNAT-U6_1/galectin-3 shRNA. The human colorectal cancer lovo cells were transferred by two PRNAT-U6_1/galectin-3 shRNA. The transfection efficiency was detected by immunofluorescence; the expression levels of galectin-3 mRNA and protein were detected by RT-PCR and Western Blot, respectively; the proliferation rate was assayed by MTT assay. **RESULTS:** It was verified by restriction endonuclease digestion that the constructed vector expressing galectin-3 shRNA was correct. The transfection efficiency was 62% at 72 h. The expression of galectin-3 was significantly suppressed in lovo cells transfected by two PRNAT-U6_1/galectin-3 shRNA compared with positive and negative groups on the levels of mRNA and protein; there were significant differences on two levels ($F = 2.214$, 148.566 , $P = 0.000$, 0.000), but no difference between positive and negative groups ($P = 0.448$, 0.263). The lovo cells transfected with PRNAT-U6_1/galectin-3 shRNA had lower cell proliferation rate ($F = 20.830$, $P = 0.000$ vs before transfection; $F = 149.710$, $P = 0.000$). There was significant difference as compared with positive and negative groups ($P = 0.000$, 0.000), but there was no difference between the latter two groups ($P > 0.05$). **CONCLUSION:** The galectin-3 shRNA vector has been successfully constructed. The expression levels of galectin-3

mRNA and protein are significantly depressed. The depressed expression of galectin-3 might decrease the proliferation rate of lovo cells.

【Keywords】 galectin-3; shRNA; cell proliferation

【摘要】目的: 构建 galectin-3 shRNA真核表达载体,观察该基因的抑制对大肠癌细胞系 lovo细胞增殖率的影响。**方法:** 以未转染 lovo细胞作为阳性对照组,转染空质粒的 lovo细胞作为阴性对照组,将针对人 galectin-3基因的不同部位设计的长度约 140 bp的 shRNA,插入到真核表达载体 PRNAT-U6_1并转染人大肠癌细胞 lovo,双酶切鉴定重组载体,免疫荧光检测转染效果,RT-PCR 和 Western Blot检测其对该基因 mRNA和蛋白水平的抑制,MTT测定干扰后对 lovo细胞增殖率的影响。**结果:** 双酶切出一条约 120 bp的 DNA片断,与插入片断长度相符。PRNAT-U6_1/Galectin-3 shRNA 表达载体顺势转染 lovo细胞 72 h后检测转染效率及 Galectin-3在 mRNA和蛋白水平的表达情况,免疫荧光检测转染效率为 62%。转染 PRNAT-U6_1/Galectin-3 shRNA的 lovo细胞 Galectin-3的表达在 mRNA和蛋白水平均明显下降,各组间比较 $F = 2.214$, 148.566 , $P = 0.000$, 0.000 ,阴性组和阳性对照组相比, $P = 0.448$, 0.263 。干扰后细胞继续生长,与干扰前相比,生长明显减慢, $F = 20.830$, $P = 0.000$, 组间比较 $F = 149.710$, $P = 0.000$, shRNA 干扰组与阴性组和阳性组比较, $P = 0.000$, 0.000 。**结论:** 成功构建 Galectin-3 shRNA表达载体,干扰后 Galectin-3在 mRNA和蛋白水平的表达明显降低,Galectin-3表达的抑制可能会导致大肠癌细胞 lovo增殖率的降低。

【关键词】半乳糖凝集素 3;短发夹 RNA ;细胞增殖

【中图号】R329.25

【文献标识码】A

0 引言

大肠癌是常见的消化道恶性肿瘤之一,其发病年轻化、瘤体增长快、死亡率高的特点成为学者们关注和研究的切入点。干扰技术能有效的敲除基因的表达,目前已被运用到基因的生物学研究中。Galectin-3是动物血凝素 Lectin家族成员之一,是目前认为与大肠癌发展关系比较密切的基因^[1],在大肠癌中的研究还少有报道。本试验我们拟构建 Galectin-3短发夹干扰载体,从负向角度来研究 Galectin-3与大肠癌增殖的关系,以望对今后研究 Galectin-3在大肠癌中的生物学作用奠定基础。

收稿日期: 2006-12-13; 接受日期: 2007-01-25

通讯作者:姜 泊. Tel: (020) 61641541 Email: drjiang@163.com

作者简介:程变巧,博士生(导师姜 泊),讲师. Tel: (020) 61365653

Email: nyd0129@tom.com

1 材料和方法

1.1 材料 Lovo细胞株来自 ATCC(美国组织培养保藏中心),由中国科学院上海细胞生物学研究所提供,病理分期为 Duke's D 期. Lipofectamine 2000TM (Invitrogen, 美国) OptiMEN I(Gibco, 美国). 蛋白裂解液(碧云天,中国);半干电转仪(Bio-Rad, 美国), PVDF膜(Bio-Rad, 美国), ECL化学发光试剂盒(Pharmacia, 美国); Galectin-3人抗大鼠(Santa, Crzu);羊抗大鼠 IgG-HRP(博士德,中国);BCA试剂盒和预染蛋白质Marker(碧云天,中国). MTT和DMSO溶液(威佳,广州),酶标仪. Trizol和RT-PCR试剂盒(TAKARA日本),DNAmaker(天为时代中国),20 g/L琼脂糖(Sigma, 美国), pRNAT-U6.1真核干扰载体(上海吉码生物公司中国). T₄DNA连接酶(TAKARA日本). 各种工具酶(Takara公司)质粒小提试剂盒(Qiagen德国).

1.2 方法

1.2.1 细胞培养 37℃, 50 mL/L CO₂条件下, 培养于含 10 mL/L 新生牛血清、1 × 10⁵ U/L 青霉素、100 mg/L 链霉素的 RPMI1640中, 根据生长情况传代.

1.2.2 构建两条 pRNAT-U6.1 Galectin-3 shRNA 根据 NM_002306 中 Galectin-3 编码区序列, 由上海博亚基因技术有限公司合成两条 Galectin-3 shRNA g 短发夹状结构, sense: 5'-GA TCCCGCA TGGA GCAC-CTGGA GCTTA TCC TTCAAAGA GA GGA TAA CCTCCA G-GTGCTCCA TGTTTTTGAAA-3', anti-sense: 3'-GG-CGTACCTCGTGGACCTCGAA TA GGAA GTTCTCTCCT-ATTCGA GGTCCACGA GGTAC AAAAAACCTTTCGA-5'. sense: 5'-GA TCCCGACCTCACCA GTGTTICA T-A TTCAAAGA GAA TA TGAA GCAC TGGTGA GTTTTT-TGGAAA-3', anti-sense: 3'-GGCTGGA GTGGTCACG-AAGTATA AA GTCTCTTA TACTCGTACCA CTCCA AAAAAACCTTTCGA-5'.

1.2.3 重组质粒构建与鉴定过程 *Bam*H, *Eco*R 双酶切 pRNAT-U6.1, 10 g/L 琼脂糖凝胶电泳分离, 以凝胶纯化试剂盒纯化备用. 退火: 分别用 TE 30 μL 溶解寡核苷酸单链, 使其浓度为 100 μmol, 两条单链各取 5 μL 混合, 经 95℃ 30 s, 72℃ 2 min, 37℃ 2 min, 25℃ 2 min 退火后备用. 连接: 稀释上述产物至 0.5 μmol, 按以下体系操作: 将纯化的质粒片段 2 μL, 退火产物 1 μL, 10 × T₄DNA Ligase buffer 1.5 μL, BSA (10 g/L) 0.5 μL, T₄DNA Ligase 0.5 μL, H₂O 9.5 μL, 总体积 15 μL, 4℃ 过夜连接. 转化: 10 μL 连接产物直接加入感受态细胞 50 μL 中, 轻轻混匀, 冰上放置 30 min, 42℃ 水浴 90 s,

置冰上 2 min, 加 800 μL LB 培养液, 37℃ 300 r/min, 60 min 摆匀; 取 100 μL 菌液涂匀于氨苄青霉素抗性的固体培养基, 普通培养箱 37℃ 培养 12~14 h, 见培养皿中长出菌落, 挑取菌落 3~4 个分别放入 5 mL LB + 5 μL Amp, 180 r/min, 37℃ 过夜, 观察培养液变混浊, 取 500 μL 菌液按照质粒小量快速提取说明书操作. 提取的重组质粒行双酶切鉴定, 将连接成功的质粒样本根据插入片段不同命名为 pRNAT-U6.1 galectin-3 s shRNA1 和 pRNAT-U6.1 galectin-3 shRNA2 送测序.

1.2.4 转染 参照 Lipofectamine 2000TM 产品操作说明书进行. 调整细胞密度达到 90% 左右, 分别混合 Lipofectamine 2000TM 10 μL 与 OptiMEN I 240 μL, Galectin-3 shRNA 10 μL 与 OptiMEN I 240 μL, 室温静置 5 min, 混合上述两组液体室温静置 20 min 每孔对应加入 500 μL 转染混合液, 轻摇混匀. 置于 37℃, 50 mL/L CO₂, 饱和湿度的培养箱中培养 6 h 后更换无抗生素的含 100 mL/L 小牛血清的 PRM I 1640 培养液, 72 h 后免疫荧光检测转染效率.

1.2.5 Western Blot 验证干扰效果 蛋白提取及 Western Blot 在室温下用 1 × PBS 冲洗 Lovo 细胞 3 次, 收集细胞 5000 r/min 离心后加入蛋白裂解液 200 μL, 100 mmol/L PMSF 20 μL 匀浆, 冰上膨胀 30 min, 12 000 g 离心 10 min, 取上清, Bradford 法在紫外分光光度仪上绘制蛋白标准曲线, 检测蛋白浓度.

Western Blot 取 20 μg 胞质蛋白以 12 g/L SDS-PAGE 凝胶电泳分离. 半干电转移至 PVDF, 5 g/L 脱脂奶粉封闭 1 h, 加入一抗 Galectin-3 mAb, (稀释浓度为 1:400), 于 4℃ 封闭袋中摇床上过夜. 二抗 (HRP) 标记的羊抗大鼠 (1:1000) 室温封闭 1 h, DAB 法显色结果, 凝胶图像分析系统检测蛋白质印记条带灰度.

1.2.6 RT-PCR Galectin-3 引物片段和 *actin* 引物片段分别参照基因文库 NM_002306 序列和 NM_001101 自行设计, 由上海博亚基因技术有限公司合成, 扩增片断分别为: 750 bp 和 320 bp. Galectin-3 序列, sense: 5'-tc ggatcc aatggcagacaattttcg-3', anti-sense: 5'-ca gaattc cttatatcatggataatgaagc-3'. *actin* 序列上游: 5'-gcg cgg cta cag ctt cac cac -3', 下游: 5'-gtatggc gtt tct gga cat ggc -3'. 按照 Trizol 试剂说明书提取细胞总 RNA. 逆转录条件: 42℃ 60 min, 95℃ 5 min, 4℃ 10 min, PCR 条件: 95℃ 预变性 5 min, 95℃ 30 s, 55℃ 30 s, 72℃ 30 s, 32 个循环后, 再 72℃ 延伸 5 min.

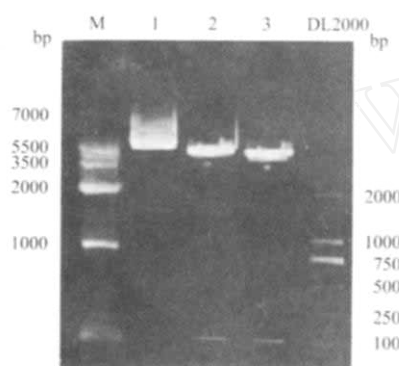
1.2.7 MTT 法检测细胞增殖 消化细胞并调整细

胞数,使每孔细胞数为4000个。培养24 h后更换无抗生素的培养液,按照步骤2,加入混合干扰,每孔50 μ L,分别设正常对照组和Galectin-3 shRNA组,每组设6个孔,以不加细胞的孔作为空白对照孔,分别于干扰后24、48和72 h在酶标仪上测定各孔A值。

统计学处理:结果以 $\bar{x} \pm s$ 表示,应用SPSS 10.0软件进行方差分析,组间比较用LSD法,以 $P < 0.05$ 表示有统计学意义。

2 结果

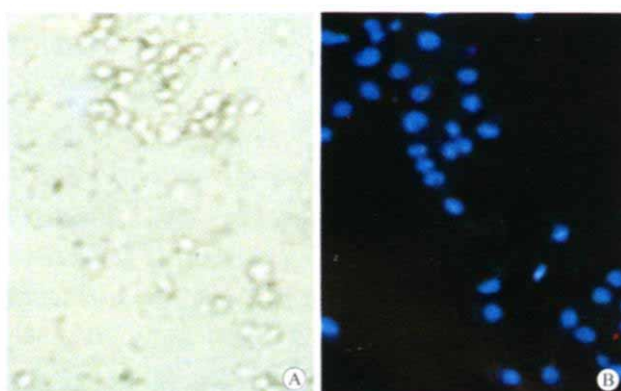
2.1 重组质粒限制性双酶切鉴定 将重组质粒经 Bam H 和 Eco R 双酶切后行琼脂糖凝胶电泳,见与插入片段约120 bp大小相符的条带,未酶切的相应重组质粒未见插入片段的条带,并经测序得以证实(图1)。



M: Marker; 1: 质粒 pRNAT-U6.1; 2: 双酶切 pRNAT-U6.1/Galectin-3 shRNA1; 3: 双酶切 pRNAT-U6.1/Galectin-3 shRNA2

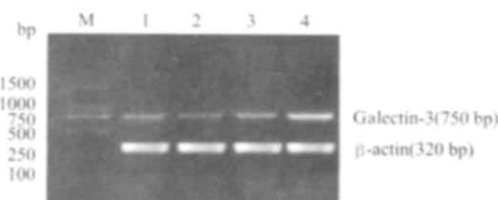
图1 重组质粒的琼脂糖凝胶电泳图

2.2 荧光显微镜观察质粒转染效率 pRNAT-U6.1 shRNA转染lovo细胞72 h后观察被转染细胞,蓝色荧光蛋白表达表明重组载体转染成功(图2)。以三个视野取平均值,转染效率为62%。



A: 正常光; B: 蓝色荧光。
图2 干扰重组载体转染后72 h检测转染效率

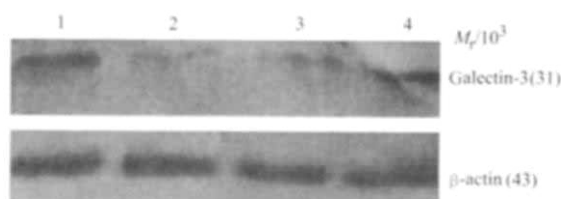
2.3 Galectin-3 shRNA对Galectin-3 mRNA水平的抑制 提取转染后72 h细胞RNA,以正常细胞组作为阳性对照组,转染空质粒组为阴性对照组,RT-PCR结果见图3, Galectin-3/ β -actin的相对A值在空白、干扰1、干扰2和阴性组分别为:1.390, 0.986, 0.976和1.379。



M: Marker; 1: Lovo/pRNAT-U6.1 Galectin-3 shRNA1; 2: Lovo/pRNAT-U6.1 Galectin-3 shRNA2; 3: Lovo/pRNAT-U6.1; 4: Lovo.

图3 Lovo细胞转染 pRNAT-U6.1 Galectin-3 shRNA 72 h后mRNA水平

2.4 Galectin-3 shRNA对Galectin-3蛋白水平的抑制 转染细胞72 h后提取胞质蛋白进行Western Blot结果见图4, Galectin-3/ β -actin的A值在空白、干扰1、干扰2和阴性组分别为:0.705, 0.141, 0.137和0.686。



1: Lovo; 2: Lovo/pRNAT-U6.1 Galectin-3 shRNA1; 3: pRNAT-U6.1 Galectin-3 shRNA2; 4: Lovo/pRNAT-U6.1.

图4 Lovo细胞转染 pRNAT-U6.1 Galectin-3 shRNA后72 h Galectin-3蛋白的表达

2.5 Galectin-3表达的抑制对细胞增殖的影响

MTT结果显示:干扰后细胞继续生长,与干扰前相比,细胞生长明显减慢,各组间比较见表1。

表1 干扰前后Galectin-3对大肠癌细胞lovo增殖的影响

(n=3, A_{575 nm}, $\bar{x} \pm s$)

组别	24 h	48 h	72 h
正常 ^a	1.7860 ± 0.185	2.635 ± 0.003	3.5320 ± 0.006
干扰后阴性 ^a	1.6890 ± 0.005	2.532 ± 0.009	3.3560 ± 0.002
干扰后阳性	0.546 ± 0.002	1.0250 ± 0.008	1.4230 ± 0.506

^a P < 0.05 vs 干扰后阳性。

3 讨论

Galectin-3因与含半乳糖苷残基的糖复合物

具有很高的亲和力而得名^[2]。Galectin-3具有两个重要的结构功能区：C末端为碳氢识别位点，与不同的配体结合，发挥不同的生物学功能。N末端含有一个9个氨基酸的重复序列，可作为基质蛋白酶结合的底物。因Galectin-3在结构上缺乏转移到内质网的信号序列，此结构具有传递信号的作用^[3-4]。目前从大体水平已经验证出Galectin-3在多种细胞，包括上皮细胞、肿瘤细胞（甲状腺癌^[3]、肝癌^[4]、大肠癌^[5]、胃癌^[6]等）表达，从机制方面初步发现Galectin-3可存在细胞的不同部位，在细胞内表达主要促进其增殖和抑制其凋亡。

应用RNA干扰技术抑制相关基因的表达，可以起到抑制肿瘤细胞增殖、促进肿瘤细胞凋亡的作用，达到治疗肿瘤的目的^[7]，本试验我们通过构建Galectin-3真核干扰表达载体并顺势转染大肠癌细胞lovo，对两条Galectin-3 shRNA真核重组载体进行双酶切鉴定，酶切出一条约120 bp的条带，这说明载体构建成功。荧光显微镜对转染48 h后检测有绿色荧光，说明转染成功。对转染后72 h的lovo细胞分别提取mRNA和蛋白进行RT-PCR和Western Blot检测，结果发现转染pRNA T-U6.1 shRNA1和pRNA T-U6.1 Galectin-3 shRNA2的lovo在蛋白和mRNA水平均被明显抑制，与空质粒组和正常组相比，F=2.214, 148.566, P=0.000, 0.000，正常组和空质粒组比较均无统计学意义P=0.448, 0.263。说明转染Galectin-3 shRNA的lovo细胞明显抑制了galectin-3基因的表达。

Inohara等^[8]通过构建Galectin-3重组体并与正常的人类纤维原细胞MP-70静止期的细胞群共培养，刺激了DNA的合成从而首先报道了Galectin-3可以作为一个有丝分裂原的证据。对其机制的进一步探讨发现主要通过ERK1/2-MEK1/2信号通路促进细胞的增殖^[9]。我们通过MTT方法对干扰前后细胞增殖的影响发现，干扰后细胞继续生长。这说明转染Galectin-3 shRNA的lovo细胞明显抑制了galectin-3在大肠癌细胞中的增殖。

目前虽然对Galectin-3在大肠癌中的研究日趋增加，但其确切机制还不清楚。Bresalier等^[10]在2004年对大肠癌血清中Galectin-3的循环配体——一种M_r为40×10³的糖化结合珠蛋白的发现，使得Galectin-3被认为有可能是大肠癌诊断和预后的肿瘤标记物。因此对Galectin-3进行深入的研究有望对未来大肠癌的早期诊断和预后提供一个靶点。

【参考文献】

- [1] Sanjuan X, Fernandez PL, Castells A. Differential expression of galectin 3 and galectin 1 in colorectal cancer progression [J]. Gastroenterology, 1997, 113(6): 1906 - 1915.
- [2] Barondes SH, Cooper DN, Gitt MA, et al. Galectins: Structure and function of a large family of animal lectins[J]. J Biol Chem, 1994, 269(33): 20807 - 20810.
- [3] Bartolazzi A. Improving accuracy of cytology for nodular thyroid lesions[J]. Lancet, 2000, 355(9216): 1661 - 1662.
- [4] Maeda N, Kawada N, Seki S, et al. Stimulation of proliferation of rat hepatic stellate cells by galectin-1 and galectin-3 through different intracellular signaling pathways [J]. J Biol Chem, 2003, 278(221): 18938 - 18944.
- [5] Schoepfner HL, Raz A, Ho SB, et al. Expression of an endogenous galactose-binding lectin correlates with neoplastic progression in the colon[J]. Cancer, 1995, 75(12): 2818 - 2826.
- [6] Baldus SE, Zirbes TK, Weingarten M, et al. Increased galectin-3 expression in gastric cancer: Correlations with histopathological subtypes, galactosylated antigens and tumor cell proliferation [J]. Tumour Biol, 2000, 21(5): 258 - 266.
- [7] Glunde K, Raman V, Mori N, et al. RNA interference-mediated choline kinase suppression in breast cancer cells induces differentiation and reduces proliferation [J]. Cancer Res, 2005, 65 (23): 11034 - 11043.
- [8] Inohara H, Akahani S, Raz A. Galectin-3 stimulates cell proliferation[J]. Exp Cell Res, 1998, 245(2): 294 - 302.
- [9] Kim HR, Lin HM, Biliran H, et al. Cell cycle arrest and inhibition of anoikis by galectin-3 in human breast epithelial cells[J]. Cancer Res, 1999, 59(16): 4148 - 4154.
- [10] Bresalier RS, Byrd JC, Tessler D, et al. A circulating ligand for galectin-3 is a haptoglobin-related glycoprotein elevated in individuals with colon cancer[J]. Gastroenterology, 2004, 127(3): 741 - 748.

编辑 井晓梅